

01; 09

© 1991 г.

КОМБИНИРОВАННЫЙ МЕТОД РАСЧЕТА ХАРАКТЕРИСТИК КАНАЛЬНЫХ ВОЛНОВОДОВ

E. A. Божевольная, С. И. Божевольный

Для определения модовых характеристик канальных волноводов с произвольным профилем показателя преломления предложен комбинированный метод, использующий итерационный метод вычисления эффективного показателя преломления моды при ступенчатой аппроксимации профиля волновода. Показано, что метод обладает достаточно высокой точностью и быстродействием. Представлены результаты расчета характеристик канальных $Ti : LiNbO_3$ волноводов в широком диапазоне нормированных параметров.

Введение

Разработка и оптимизация интегрально-оптических устройств требует определения характеристик канальных волноводов при различных параметрах волноводных структур. Предложено большое число разнообразных методов расчета волноводных характеристик [1-4, 7-12], однако необходимость создания достаточно точного, по возможности универсального и быстрого метода по-прежнему существует. Причем последнее качество определяет пригодность метода для решения оптимизационных задач, где требуется многократное вычисление волноводных характеристик. Для широко используемых канальных $Ti : LiNbO_3$ волноводов предложены быстрые квазианалитические методы расчета, основанные на аппроксимации профиля показателя преломления функциями, допускающими точное решение волнового уравнения [1, 2]. Однако точность этих методов определяется соответствием модельного профиля реальному профилю показателя преломления, что накладывает существенные ограничения на область их применения.

Метод эффективного показателя преломления [3], точность которого высока вдали от модовой отсечки [2, 4], позволяет находить решение двумерного волнового уравнения для канального волновода путем последовательного решения одномерных задач. Экономичный метод решения одномерного уравнения на основе вычисления поправки к собственному значению однородной краевой задачи [5, 6] был предложен для анализа планарных волноводов с произвольным распределением показателя преломления [7, 8]. В этом методе поле моды находится прямым интегрированием волнового уравнения для пробного значения постоянной распространения, после чего вычисляется поправка первого порядка к этому значению. Такой итерационный процесс быстро сходится и является стабильным [5, 7]. Однако непосредственное использование данного метода для анализа канальных волноводов в приближении метода эффективного показателя преломления требует вычисления профиля эффективного волновода в большом количестве точек, что приводит к резкому увеличению объема вычислений. С другой стороны, методы, использующие ступенчатую аппроксимацию профиля показателя преломления, обеспечивают высокую точность вычислений при относительно небольшом (~ 20) числе слоев, однако при этом решение находится перебором всевозможных значений постоянной распространения [9, 10].

В настоящей работе для определения характеристик канальных волноводов в приближении метода эффективного показателя преломления предлагается

комбинированный метод, использующий итерационный процесс вычисления поправки к постоянной распространения и ступенчатую аппроксимацию профиля показателя преломления. Метод излагается для произвольного профиля показателя преломления волновода с использованием нормированных параметров, что существенно расширяет область применения получаемых результатов. Точность метода оценивается путем сопоставления с известными результатами, полученными методом конечных элементов для планарного [1¹] и канального [1²] волноводов. Предложенный метод используется для определения характеристик канальных Ti : LiNbO₃ волноводов в широком диапазоне нормированных параметров.

Расчет характеристик планарных волноводов

Решение одномерного волнового уравнения является ключевым в методе эффективного показателя преломления для определения характеристик канальных волноводов. Поэтому рассмотрим вначале подробно предлагаемый комбинированный метод для анализа планарных волноводов. Пусть распределение показателя преломления по поперечной координате y описывается соотношением

$$n(y) = \begin{cases} n + \Delta n f\left(\frac{y}{D}\right), & y \geq 0, \\ n_c, & y < 0, \end{cases} \quad (1)$$

где n и n_c — показатели преломления подложки и покровного слоя; Δn — максимальное приращение показателя преломления волновода, которое, для простоты будем предполагать, достигается на поверхности $f(0)=1$ и $f(\infty)=0$; D — характерная глубина волновода.

Введем широко используемые нормированные волноводные параметры [1³]:

$$V \simeq \frac{2\pi}{\lambda} D \sqrt{2n\Delta n}, \quad b \simeq \frac{n^* - n}{\Delta n}, \quad a \simeq \frac{n^2 - n_c^2}{2n\Delta n}, \quad (2)$$

где λ — длина волны в вакууме, n^* — эффективный показатель преломления волноводной моды.

Тогда величина электрического поля E для TE -мод удовлетворяет следующим уравнениям [1¹, 1³]:

$$\begin{aligned} \frac{d^2 E}{dy'^2} + V^2 [f(y') - b] E = 0, & \quad y' > 0, \\ \frac{d^2 E}{dy'^2} - V^2 [a + b] E = 0, & \quad y' < 0, \end{aligned} \quad (3)$$

где $y' = y/D$ — нормированная координата по глубине волновода.

Для решения уравнений (3) с помощью итерационного процесса вычисления поправки к величине b [5-8] предлагается использовать ступенчатую аппроксимацию профиля волновода (рис. 1), где высота i -й ступеньки $f_i = 1/2 (f(y_{i-1}) + f(y_i))$ и $(N+1)$ -й слой простирается до бесконечности ($f_{N+1} = 0$). В этом случае удобно ввести следующие обозначения [9]:

$$u_i = V \sqrt{f_i - b} \quad \text{и} \quad w_i = V \sqrt{b - f_i}. \quad (4)$$

Наиболее целесообразно точку согласования y_i решений (3), получающихся при интегрировании слева E^s и справа E^u , выбрать на границе слоев $y_i = y'_i$, так что $f_{i+1} < b < f_i$ (рис. 1). Тогда поле слева ($0 < y' < y_i$) можно представить на i -м слое в виде [9]

$$E_i^s(y') = A_i \cos(u_i(y' - y'_{i-1})) + B_i \sin(u_i(y' - y'_{i-1})). \quad (5)$$

Используя непрерывность поля и его производной при смене слоя, последовательно определяются коэффициенты A_{i+1} , B_{i+1} через A_i , B_i . При этом коэффициенты A_1 , B_1 находятся из согласования с полем E при $y' < 0$

$$E_0^u(y) = A_1 \exp(V\sqrt{a+b}y'), \quad (6)$$

где выбор A_1 является произвольным и, если $A_1 = \sqrt{(1-b)/(a+b)}$, $B_1 = 1$.

Аналогичным образом, начиная с поля E при $y' > y'_N$

$$E_{N+1}^u(y') = A \exp(-V\sqrt{b}(y' - y'_N)), \quad (7)$$

где коэффициент A можно положить равным единице, и последовательно переходя с $(i+1)$ -го слоя на i -й слой, легко определяются коэффициенты A_i , B_i , в выражении для поля справа ($y'_i < y' < y'_{i+1}$) на i -м слое

$$E_i^u(y') = A_i \exp(w_i(y' - y'_i)) + B_i \exp(-w_i(y' - y'_{i+1})). \quad (8)$$

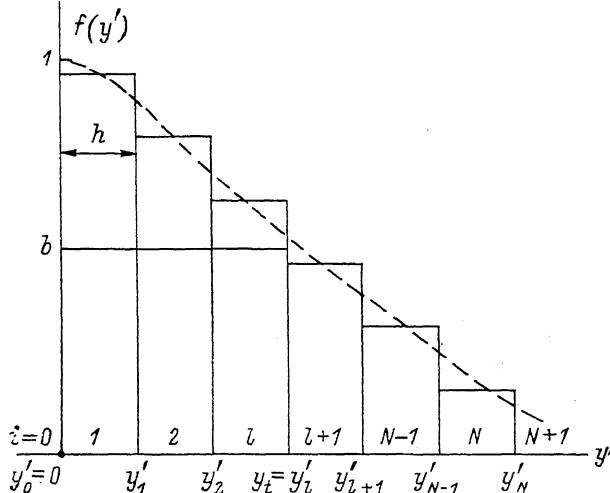


Рис. 1. Ступенчатая аппроксимация профиля показателя преломления планарного волновода.

Можно показать подобно сделанному в работе [6, 8], что поправка первого порядка δb к нормированной величине b эффективного показателя преломления определяется следующим образом:

$$\delta b = \frac{1}{V^2} \frac{\frac{E'_{in}}{E_{in}} - \frac{E'_{out}}{E_{out}}}{\frac{\int_{-\infty}^{y_t} [E^u(y')]^2 dy'}{\int_{-\infty}^{y_t} (E_{out})^2 dy'} + \frac{\int_{y_t}^{+\infty} [E^u(y')]^2 dy'}{\int_{y_t}^{+\infty} (E_{in})^2 dy'}},$$

$$E_{out} = E_l^u(y_t), \quad E'_{out} = \left(\frac{dE^u}{dy'}\right)_{y_t}, \quad E_{in} = E_{l+1}^u(y_t), \quad E'_{in} = \left(\frac{dE^u}{dy'}\right)_{y_t}. \quad (9)$$

При этом все величины, входящие в соотношения (9), нетрудно выразить аналитически через коэффициенты A_i , B_i , что уменьшает погрешность вычисления поправки δb по сравнению с методами [7, 8], использующими непосредственное интегрирование уравнений (3).

Пробное значение b_0 можно определить с помощью приближенного метода ВКБ, как это предлагается в работе [7]. Для профилей показателя преломления, близких к гауссовому, целесообразно использовать приближенную формулу, полученную в работе [14],

$$b_m^0 = 1 - \frac{2m+1}{V} + \frac{6m^2 + 6m + 3}{8V^2}, \quad (10)$$

где $m=1, 2, 3, \dots$ — номер моды; величина D для вычисления нормированной частоты V , согласно (2), определяется как глубина волновода, на которой функция профиля $f(y')$ уменьшается в e раз.

Следует отметить, что итерационный процесс сходится (через 3–6 итераций) к ближайшей моде практически при любом начальном значении b_0 ($0 < b_0 < 1$), поэтому для нахождения основной моды можно использовать пробное значение $b_0=0.95$.

Погрешность предлагаемого комбинированного метода при определении характеристик планарных волноводов складывается из погрешности, возникающей при замене гладкого профиля волновода ступенчатым, и погрешности итерационного процесса, связанный с приближенной формулой (первого порядка) для расчета поправки δb . Как показано в работах [7, 8, 10], этими погрешностями можно в практических случаях пренебречь. Для проверки точности комбинированного метода были рассчитаны характеристики основной моды волновода с гауссовым распределением показателя преломления ($f(y') = \exp(-y'^2)$) для различного числа N слоев ступенчатой аппроксимации с равным шагом $h=2/N$. При этом итерационный процесс прекращался в случае, если $\delta b < 10^{-4}$. Результаты расчетов (b (КМ)) приведены в таблице вместе с извест-

Нормированные значения эффективного показателя преломления, рассчитанные комбинированным методом (b (КМ)) и методом конечных элементов (b (МКЭ)) [11] для планарного волновода с гауссовым распределением показателя преломления

V	b (КМ)			b (МКЭ)
	$N = 10$	$N = 20$	$N = 40$	
1.8	0.0089	0.0086	0.0086	0.0094
2.0	0.0372	0.0368	0.0367	0.0377
3.0	0.2267	0.2266	0.2266	0.2267
4.0	0.3741	0.3744	0.3745	0.3745
5.0	0.4778	0.4783	0.4786	0.4786

ными результатами, полученными методом конечных элементов (b (МКЭ)) [11]. Видно, что для мод, находящихся вдали от отсечки, хорошая точность достигается уже при $N=20$. Для слабонаправляемых мод погрешность связана с необходимостью «обрыва» профиля волновода при ступенчатой аппроксимации и резко возрастает, если $b \leq f_N$.

Расчет характеристик канальных волноводов

Рассмотрим канальный волновод, сформированный в подложке с показателем преломления n и покрытый слоем с показателем преломления n_c (рис. 2). Представим распределение показателя преломления волноводной области подложки в следующем виде:

$$n(x, y) = n + \Delta n f\left(\frac{x}{W}, \frac{y}{D}\right), \quad (11)$$

где W и D — характерные размеры волновода по ширине и глубине.

Амплитуда E X -компоненты электрического поля для квази- TE мод удовлетворяет с учетом соотношений (2) следующему волновому уравнению:

$$\frac{1}{r^2} \frac{\partial^2 E}{\partial x'^2} + \frac{\partial^2 E}{\partial y'^2} + V^2 [f(x', y') - b] E = 0, \quad (12)$$

где $r=W/D$, $x'=x/W$ и $y'=y/D$ — нормированные переменные.

Для решения уравнения (12) в приближении метода эффективного показателя преломления [3] поле моды представляется в виде $\tilde{E}(x', y') = X(x') \times Y(y', x')$ и уравнение (12) заменяется системой двух уравнений [2, 4]

$$\frac{\partial^2 Y}{\partial y'^2} + V^2 [f(x', y') - b^*(x')] Y = 0, \quad (13a)$$

$$\frac{\partial^2 X}{\partial x'^2} + r^2 V^2 [b^*(x') - b] X = 0. \quad (13b)$$

где функция $b^*(x')$ дает профиль симметричного эффективного волновода.

Уравнение (13a) решается комбинированным методом аналогичного уравнению (3) для набора значений переменной x' , что позволяет получить ступенчатую аппроксимацию профиля эффективного волновода $b^*(x')$. При этом, определив пробное значение b_0^* величины b^* для первого x' согласно соотношению (10) или другим образом, в качестве пробных значений b_0^* для остальных x' наиболее целесообразно брать величину b^* , вычисленную на предыдущем шаге.

что уменьшает число итераций до 1–3 и резко сокращает время вычислений.

Решение уравнения (13b) также производится комбинированным методом и особенно облегчается для функций $f(x', y')$, четных относительно переменной x' . В этом случае (наиболее часто встречающемся на практике) уравнение рассматривается при $x' \geq 0$ и при интегрировании слева полагается либо $A_1=1$, $B_1=0$ для четных мод, либо $A_1=0$, $B_1=1$ для нечетных мод. Следует заметить, что

при нахождении четных мод мы имеем дело с неоднородными граничными условиями в отличие от рассматриваемого в работах [6–8] случая однородного уравнения и однородных граничных условий. Можно строго показать, что и для ненулевого граничного условия (но только с одной стороны) при нулевой граничной производной поправка δb определяется соотношением (9), где нижний предел интеграла $-\infty$ заменяется на нуль (для четных и нечетных мод). Фактически это уже использовалось в работе [5], однако математическое обоснование метода вычисления поправки, приведенное в [6], не включает данный случай. В качестве пробного значения b_0 при вычислении эффективного показателя преломления b планарного симметричного волновода можно использовать приближенную формулу для тонкопленочного волновода [14]

$$b_m^0 = \left(1 - \frac{K^2}{V_0^2}\right) b_c^*,$$

$$K = \frac{m\pi}{2} + \frac{1}{V_0} (\sqrt{1 + 2V_0(V_0 - 0.5m\pi)} - 1), \quad (14)$$

где $m=0, 1, 2, \dots$ — номер моды; V_0 — соответствующая нормированная частота и в нашем случае $V_0=0.5rV\sqrt{b_c^*}$, b_c^* — некоторое среднее по ширине W значение показателя преломления эффективного волновода.

Погрешность предлагаемого комбинированного метода при определении характеристик канальных волноводов складывается из погрешности, связанной с определением характеристик планарного волновода, и погрешности метода эффективного показателя преломления, которая возникает из-за предположения о малости производной dY/dx' . Как показано в первой части нашей работы, погрешность первого типа пренебрежимо мала уже при $N=20$ числе слоев. Хорошая точность метода эффективного показателя преломления для мод, находящихся вдали от отсечки, подтверждена многими работами [2, 4]. Для проверки точности комбинированного метода в целом были рассчитаны характеристики основной моды канального волновода со следующим распределением показателя преломления [12]:

$$n(x, y) = n + \Delta n \frac{L^2 - x^2 - y^2}{L^2},$$

$$L^2 = \begin{cases} D^2 + x^2, & y > x, \\ D^2 + y^2, & y < x, \end{cases} \quad (15)$$

где $x \in [-D, D]$ и $y \in [0, D]$, $\Delta n=0.06$, $n(x, y)=n_c=1.0$ для $y < 0$ и $n(x, y)=n=1.47$ (показатель преломления подложки) для всех остальных значений переменных x, y .

Полученный для одинакового числа слоев $N=20$ по ширине и глубине волновода график зависимости $b(V)$ приведен на рис. 3 (штриховая линия) вместе с графиком, рассчитанным методом конечных элементов (сплошная линия) [12]. Таким образом, относительная погрешность комбинированного метода становится существенной вблизи отсечки при $b < 0.1$ (рис. 3).

Нормированные характеристики канальных Ti : LiNbO_3 волноводов

Канальные волноводы, полученные путем термодиффузии титана в никобат лития, являются наиболее распространенным в интегральной оптике как базовые

Рис. 3. Сравнение результатов расчета канального волновода с профилем (15) комбинированным методом (1) и методом конечных элементов (2) [12].

элементы различного рода устройств для оптических систем связи и обработки информации [15, 16]. Поэтому в качестве приложения данного комбинированного метода были рассчитаны нормированные характеристики таких волн-

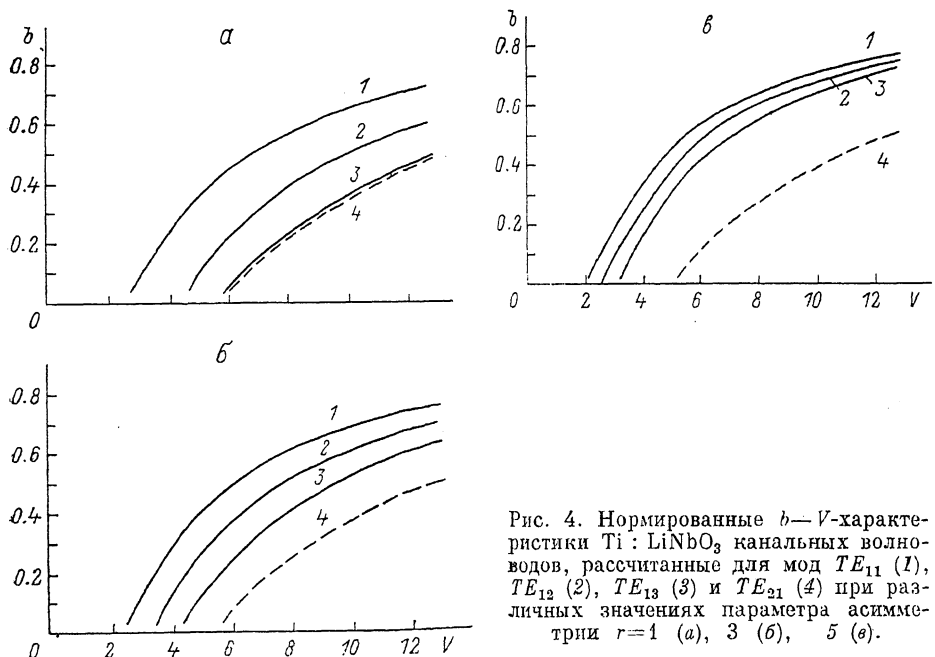
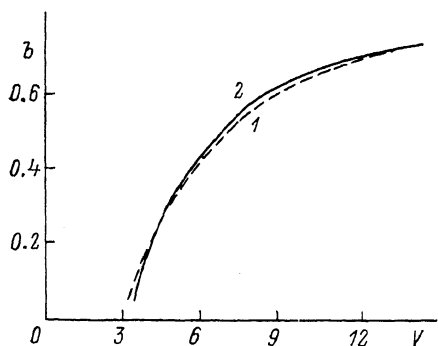


Рис. 4. Нормированные $b-V$ -характеристики Ti : LiNbO_3 канальных волноводов, рассчитанные для мод TE_{11} (1), TE_{12} (2), TE_{13} (3) и TE_{21} (4) при различных значениях параметра асимметрии $r=1$ (а), 3 (б), 5 (в).

новодов в приближении изотропной диффузии [16] и пренебрежении величиной поля моды на поверхности волновода ($a=\infty$). Последнее предположение справедливо с хорошей точностью [2, 9, 11, 16] и позволяет использовать полученные результаты как для квази- TE , так и для квази- TM мод. Профиль показателя преломления канальных Ti : LiNbO_3 волноводов и связь его параметров с технологическими параметрами процесса изготовления волноводов известны с достаточной определенностью [2, 16]. При этом функция распределения показателя преломления в нормированных переменных (11, 12) записывается следующим образом:

$$f(x', y') = \frac{\exp(-y'^2)}{2 \operatorname{erf}(0.5r)} \{ \operatorname{erf}[r(x' + 0.5)] - \operatorname{erf}[r(x' - 0.5)] \}. \quad (16)$$

Основными элементами интегрально-оптических устройств являются однодомовые канальные волноводы, однако в ряде случаев необходимо использовать двухмодовые [1⁷] и трехмодовые [1⁸] по ширине участки волноводных структур. На рис. 4 представлены зависимости нормированных величин эффективного показателя преломления от нормированной частоты V для первых трех мод (TE_{11} , TE_{12} , TE_{13}) по ширине волновода и для второй моды (TE_{21}) по глубине волновода при различных значениях параметра асимметрии r . Интересно отметить, что моды TE_{13} и TE_{21} для случая $r=1$ являются практически вырожденными (рис. 4, a). Полученные результаты позволяют выбрать необходимые для заданного режима работы устройства параметры V и r , по которым можно определить параметры технологического процесса изготовления волноводных структур.

Заключение

В настоящей работе для определения характеристик канальных волноводов с произвольным профилем в приближении метода эффективного показателя преломления предложен комбинированный метод, использующий итерационный процесс вычисления эффективного показателя преломления рассматриваемой моды и ступенчатую аппроксимацию профиля показателя преломления волновода. Расчетные соотношения приведены с использованием нормированных параметров, что существенно расширяет область применения результатов, получаемых этим методом. Проиллюстрирована хорошая точность метода в сравнении с известными, за исключением мод, находящихся вблизи отсечки. Следует отметить, что время вычисления эффективного показателя преломления и распределения поля моды канального волновода при использовании программы на языке FORTRAN-77 не превышало 1 мин для персонального компьютера IBM PC/AT или 3 с времени процессора VAX 8700.

Таким образом, предложенный метод при своей универсальности обладает достаточно высокой точностью и быстродействием, что позволяет эффективно его использовать для решения различного рода оптимизационных задач, где требуется многократное вычисление модовых характеристик волновода. Комбинированным методом рассчитаны нормированные $b-V$ -характеристики канальных $Ti : LiNbO_3$ волноводов для различных значений параметра асимметрии, по которым можно выбрать технологические параметры изготовления соответствующих волноводных структур.

Список литературы

- [1] Mueller C. T., Garmire E. // Appl. Opt. 1985. Vol. 24. N 17. P. 2846—2850.
- [2] Strake E., Bava G. P., Montrossot J. // J. Lightwave Technol. 1988. Vol. 6. N 6. P. 1126—1134.
- [3] Hocker G. B., Burns W. K. // Appl. Opt. 1977. Vol. 16. N 1. P. 113—118.
- [4] De Velde K. V., Thienpont H., Green R. V. // J. Lightwave Technol. 1988. Vol. 6. N 6. P. 1153—1159.
- [5] Ridley E. C. // Proc. Cambridge Phil. Soc. 1955. Vol. 51. N 6. P. 702—706.
- [6] Hartree D. R. Numerical analysis. England : Clarendon, 1958.
- [7] Baumert J. C., Hoffnagle J. A. // J. Lightwave Technol. 1986. Vol. 4. N 11. P. 1626—1630.
- [8] Cheng X., Tsai C. S. // J. Lightwave Technol. 1988. Vol. 6. N 6. P. 809—817.
- [9] Danielson P. // IEEE J. Quantum Electron. 1984. Vol. 20. N 9. P. 1093—1097.
- [10] Chatak A. K., Thyagarajan K., Shenoy M. R. // J. Lightwave Technol. 1987. Vol. 5. N 5. P. 660—667.
- [11] Riviere L., Yi-Yan A., Carru H. // J. Lightwave Technol. 1985. Vol. 3. N 2. P. 368—377.
- [12] Yeh C., Ha K., Dong S. B., Brown W. P. // Appl. Opt. 1979. Vol. 18. N 10. P. 1490—1504.
- [13] Kogelnik H., Ramaswamy V. // Appl. Opt. 1974. Vol. 13. N 13. P. 1857—1867.
- [14] Lotspeich J. P. // Opt. Commun. 1976. Vol. 18. N 4. P. 567—572.
- [15] Garmire E. // J. Lightwave Technol. 1988. Vol. 6. N 6. P. 1105—1108.
- [16] Hutcheson L. D. Integrated Optical Circuits and Components. New York: Marcel Dekker, 1987.
- [17] Voges E., Neyer A. // J. Lightwave Technol. 1987. Vol. 5. N 9. P. 1229—1238.
- [18] Божевольный С. И., Радько П. С. // ЖТФ. 1989. Т. 59. Вып. 11. С. 166—169.

Институт микроэлектроники АН СССР
Научный центр по фундаментальным проблемам
вычислительной техники
Ярославль

Поступило в Редакцию
15 апреля 1990 г.